

10

© 1991 г.

## ПРИБЛИЖЕННОЕ КРАЕВОЕ УСЛОВИЕ НА ЭЛЕКТРОМАГНИТНОЕ ПОЛЕ РЭП В ОБЪЕМЕ С НЕПРОВОДЯЩИМИ СТЕНКАМИ

*Л. В. Глазыхев*

Предложен подход к определению приближенных значений потенциалов электромагнитного поля на периферии импульсного релятивистского электронного пучка (РЭП), распространяющегося в объеме с непроводящими стенками или в неограниченной среде. Полученные при этом соотношения применимы для описания парааксиальных осесимметричных РЭП с плавной зависимостью тока от времени. В результате появляется возможность преобразования задачи Коши для электромагнитных процессов в системе пучок—среда в краевую, что может существенно ускорить и облегчить решение уравнений электродинамики при численном моделировании такой системы. Если пространственно-временное распределение плотностей тока и заряда как пучка, так и среды задано извне, то значения потенциалов на периферии РЭП определяются аналитически, что проиллюстрировано примером.

1. Процесс инжекции и распространения релятивистских электронных пучков (РЭП) в плазме и газе представляет интерес как для экспериментальных так и для теоретических исследований в силу наличия ряда перспективных приложений. Достаточно полное теоретическое изучение данного процесса, позволяющее достичь количественного согласия с результатами имеющихся экспериментов и прогнозировать результаты планируемых, возможно только с помощью сложных математических моделей. Это связано с необходимостью самосогласованного описания целого ряда разноплановых явлений: движения электронов пучка (с учетом их рассеяния и торможения в среде), кинетических процессов в среде (прямая и лавинная ионизация, прилипание, рекомбинация и т. п.) и пространственно-временной эволюции электромагнитного поля.

Построение моделей указанного типа (см., например, [1<sup>-7</sup>]) сопряжено не только с преодолением технических трудностей, но и с решением некоторых принципиальных проблем. Одна из таких проблем, связанная с расчетом электромагнитного поля нестационарного РЭП, инжектируемого в объем с непроводящими стенками, и является предметом настоящей работы. Сущность проблемы заключается в необходимости разработки подхода к заданию приближенных краевых условий для численного решения уравнений Максвелла (решается, строго говоря, чисто начальная задача Коши). Другими словами, необходимо «перенести» краевые условия из бесконечности, где все поля и потенциалы равны нулю, как можно ближе к пучку, причем сделать это физически обоснованным способом.

В монографиях по электродинамике и волновым процессам [8<sup>-12</sup>] указанный вопрос не обсуждался, а в известных работах по исследованию динамики РЭП [1<sup>-5</sup>, 13, 14] рассматривалась ситуация инжекции пучка в металлический волновод (с очевидным заданием граничных условий) либо все сводилось к этой ситуации. Так, в [4, 13, 14] предполагается, что на некотором расстоянии  $R$  от оси (на границе расчетной сетки) потенциалы (либо поля) становятся пренебрежимо малыми, однако отсутствуют критерии выбора  $R$ , а также обоснование подхода. Другой известный подход состоит в увеличении с течением времени размера расчетной сетки (со скоростью света  $c$ ). Этот подход, так же как и пер-

вый при очень больших  $R$ , требует для своей реализации значительных затрат вычислительных ресурсов.

В данной работе предложен принципиально иной метод, позволяющий вычислить приближенное значение электромагнитного поля на границах основного сечения РЭП, который распространяется в газовой среде. Это значение может быть использовано в качестве физически обоснованного краевого условия для численного решения уравнений Максвелла на компактной расчетной сетке. Предложенный подход применим для осесимметричных параксиальных пучков с достаточно плавной зависимостью тока от времени.

2. В рассматриваемой постановке начальной задачи инжектор электронов (выходное окно ускорителя) расположен в плоскости  $z=0$ . С момента времени  $t=0$  в нейтральный газ (в положительном направлении оси  $z$ ) начинает инжектироваться электронный пучок. Он инициирует в среде целый ряд процессов плазмохимической кинетики; электрическое поле пучка индуцирует плазменный ток, выносящий из области пучка «избыточные» электроны на периферию и через торец. Все перечисленные процессы протекают в ограниченной по радиусу области около оси пучка. За ее пределами, где плотность тока пучка равна нулю (нет прямой ионизации газа), а электрическое поле РЭП имеет напряженность, недостаточную для пробоя газа, газ остается практически непроводящим (и неполяризованным). По этой причине плотности заряда и тока как пучка, так и среды за пределами указанной области можно считать нулевыми. Везде в дальнейшем это условие считается выполненным для радиусов, превышающих некоторую величину  $R$ ,

$$\rho(r > R), j(r > R) = 0, \quad (1)$$

где  $\rho$  — суммарная (пучка и среды) плотность заряда, а  $j$  — суммарная плотность тока.

Именно для радиуса  $R$ , естественным образом разделяющего пространство на приосевую и периферийную области, и будут записаны соотношения, определяющие величины полей. Ниже уточнены исходные предположения, необходимые для вывода искомых соотношений.

Параксиальность пучка предполагает, что скорости электронов пучка направлены преимущественно вдоль оси  $z$ :  $\beta_{\perp} \ll \beta_z$ , где  $\beta$  — нормированная на  $c$  скорость электрона. Для релятивистских электронов величина  $\beta$  близка к 1. Из параксиальности траекторий частиц пучка следует соотношение между характерным продольным масштабом  $L$  в системе пучок—газ и характерным радиусом пучка  $a$ :  $L \gg a$  [1, 4, 13, 14]. Данное соотношение позволяет пренебрегать продольными производными по сравнению с поперечными  $\partial/\partial z \sim 1/L \ll \ll 1/a \sim \nabla_{\perp}$  везде вблизи оси пучка, за исключением области около инжектора и головной части РЭП.

Здесь и в дальнейшем использованы наиболее удобные для рассмотрения задачи переменные  $(z, \tau)$ , где  $\tau = t - z/c$ ,  $t$  — время. Это связано с близостью к 1 продольной скорости  $\beta_z$  электронов пучка, определяющих первичные источники в правых частях уравнений электродинамики. Возникновение вторичных источников (индуцированных в среде токов и зарядов) вдоль оси  $z$  происходит с такой же скоростью. Записанное выше соотношение выполняется как для первичных, так и для вторичных источников. В работе используется более жесткое условие на параксиальность пучка

$$R/L = 0(\epsilon^2), \quad (2)$$

где  $\epsilon \ll 1$  — безразмерный малый параметр (очевидно,  $R \gg a$ ).

Аналогичное (2) предположение сделано относительно характерного временного масштаба  $T$  в системе

$$R/cT = 0(\epsilon^2), \quad (3)$$

что позволяет записать  $(1/c) \partial/\partial \tau \sim 1/cT \ll 1/R \sim \nabla_{\perp}$ . Как правило, величина  $T$  определяется временной зависимостью тока пучка на инжекторе, которая, согласно (3), должна быть достаточно плавной. По сути (2) и (3) позволяют ввести еще один пространственный масштаб ( $l$ ), такой, что  $R \ll l \ll cT, L$

$$R|l, l|cT, l|L = 0(\varepsilon). \quad (4)$$

Кроме (1)—(3) в качестве исходного предположения используется осевая симметрия системы

$$\partial/\partial\theta \equiv 0. \quad (5)$$

Условия (2), (3), (5) позволяют существенно упростить запись уравнений Максвелла в присоединенной области. Пренебрегая производными  $(\partial^2/\partial t^2)$  и  $(\partial^2/\partial z^2)$  по сравнению с поперечными в волновых уравнениях для скалярного  $\varphi$  и векторного  $A$  потенциалов электромагнитного поля, нетрудно получить приближенные уравнения

$$\frac{1}{r} \frac{\partial}{\partial r} r \frac{\partial \varphi}{\partial r} = -4\pi\rho(r, z, \tau), \quad (6)$$

$$\frac{1}{r} \frac{\partial}{\partial r} r \frac{\partial A_z}{\partial r} = -4\pi j_z(r, z, \tau)/c, \quad (7)$$

которые дополняются условием лоренц-калибровки

$$\frac{1}{c} \frac{\partial(\varphi - A_z)}{\partial \tau} + \frac{1}{r} \frac{\partial}{\partial r} r A_r + \frac{\partial A_z}{\partial z} = 0, \quad \left(\frac{\partial}{\partial z}\right)_t = \left(\frac{\partial}{\partial z}\right)_\tau - \frac{1}{c} \frac{\partial}{\partial \tau}. \quad (8)$$

Конкретный вид правых частей (6), (7) определяется кинетикой среды, так как плотности индуцированных в ней токов и зарядов входят в  $\rho$  и  $j_z$ . В данной работе, однако, эта конкретизация не требуется.

Уравнения (6), (7) применимы исключительно в присоединенной области и не содержат производных по  $z$  и  $\tau$ , однако  $\varphi$  и  $A_z$  зависят от  $z$  и  $\tau$  параметрически. Очевидно,  $\partial\varphi/\partial r(r=0) = \partial A_z/\partial r(r=0) = A_r(r=0) = 0$ . Недостающими краевыми условиями для (6)—(8) являются значения  $\varphi(r=R, z, \tau)$  и  $A_z(r=R, z, \tau)$  либо соотношения, включающие данные значения. В работе эти соотношения найдены с помощью приближенного решения полных волновых уравнений для  $\varphi$  и  $A_z$ .

3. Поиск приближенного решения полного волнового уравнения производится в данной работе для модельной ситуации, когда плоскость  $z=0$ , в которой расположено выводное окно ускорителя, является идеально проводящей. Так как уравнения для  $\varphi$  и  $A_z$  одинаковы, то достаточно проделать вычисления только для одной из этих величин. Для определенности выбран скалярный потенциал  $\varphi$ .

Соотношение, позволяющее определить потенциал  $\varphi(R, z, \tau)$  на периферии пучка, получено в работе посредством приближенного вычисления значения  $\varphi(0, z, \tau)$  потенциала на оси системы. Выражение для потенциала на оси нетрудно записать в переменных  $(r, z, t)$  с помощью фундаментального решения волнового уравнения [15, с. 199]

$$\varphi(r=0, z, t) = 2\pi \int r dr du \frac{\bar{\rho}(r, u, t - \sqrt{r^2 + (z-u)^2}/c)}{\sqrt{r^2 + (z-u)^2}}, \quad u < ct - \sqrt{r^2 + (z-u)^2}, \quad (9)$$

где  $\bar{\rho}$  — суммарная плотность заряда в координатах  $(r, z, t)$ .

Переход к переменным  $(r, z, \tau)$  сопровождается, во-первых, заменой  $t$  на  $(\tau + z/c)$  и, во-вторых, заменой  $\bar{\rho}$  на  $\rho$  — плотность заряда, выраженную в переменных  $(r, z, \tau)$ . Так как  $\bar{\rho}(r, u, \hat{t}) = \rho(r, u, \hat{t} - u/c)$  (для любых  $u$  и  $\hat{t}$ ), то в подынтегральном выражении будет стоять величина  $\rho[r, u, \tau + (z-u - \sqrt{r^2 + (z-u)^2})/c]$ . Преобразование интеграла (9) в последовательный дает

$$\begin{aligned} \varphi(0, z, \tau) = \varphi_+ + \varphi_- = 2\pi \int_0^{u_m} du \int_0^{z-u} \frac{r dr \rho[r, u, \tau + (z-u - \sqrt{r^2 + (z-u)^2})/c]}{\sqrt{r^2 + (z-u)^2}} - \\ - 2\pi \int_0^{b\sigma\tau/(1+b)} du \int_0^{r_+} \frac{r dr \rho[r, u, \tau + (z-u - \sqrt{r^2 + (z+u)^2})/c]}{\sqrt{r^2 + (z+u)^2}}, \quad (10) \end{aligned}$$

$$r_{\mp} = (c\tau + z - u/b)^2 - (z \mp u)^2, \quad (11.1)$$

$$u_m = \begin{cases} 2b(z + c\tau/2)/(1+b), & bc\tau/(1-b) > z, \\ bc\tau/(1-b), & bc\tau/(1-b) < z. \end{cases} \quad (11.2)$$

В (10), (11) и далее для удобства используется обозначение  $b = \beta_z$ . Второй член ( $\varphi_-$ ) в (10) отвечает вкладу в потенциал, вносимому зеркальными отражениями всех зарядов относительно плоскости  $z=0$ , т. е. областью  $u < 0$ . Область интегрирования (11) определяется неравенством из (9), а также соотношением  $\rho(r, u > bc\tau/(1-b), \tau) \equiv 0$  (электроны пучка к моменту времени  $t$  просто не успевают пройти расстояние, большее  $bct = b(c\tau + u) > u$ ).

Схематически область интегрирования для  $\varphi_+$  показана на рис. 1. Предполагается, что

$$z > l, \quad c\tau > R + (1-b)z/b. \quad (12)$$

Неравенства (12) исключают из рассмотрения область вблизи инжектора и

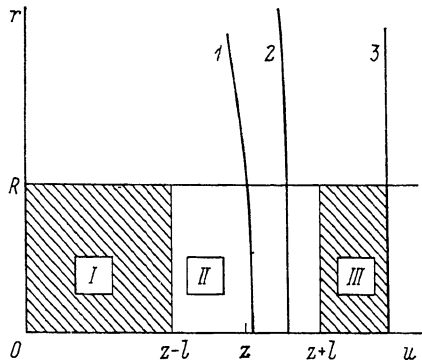


Рис. 1. Область интегрирования (11) для  $\varphi_+$ . I—II—III — области интегрирования для  $\varphi_1$ — $\varphi_3$  соответственно.

головную часть пучка, для которых величины  $\partial/\partial z$  и  $(1/c)(\partial/\partial \tau)$  могут иметь тот же порядок, что и  $v_{\perp}$ . Из (11.2), (12) следует, что  $u_m = (2b/(1+b))(z + c\tau/2)$ .

При условиях (12) область интегрирования по  $u$  в  $\varphi_+$  можно разбить на две или три части в зависимости от величины  $\tau$

$$\varphi_+(0, z, \tau) = 2\pi \left( \int_0^{z-l} du (\dots) + \int_{z-l}^{z+l} du (\dots) + \theta(u_m - z - l) \int_{z+l}^{u_m} du (\dots) \right), \quad (13)$$

где  $l = \min(l, u_m - z)$ .

Эти слагаемые будут ниже обозначаться как  $\varphi_1$ ,  $\varphi_2$  и  $\varphi_3$  соответственно (рис. 1). Если  $u_m - z < l$ , то  $\varphi_3$  в сумме отсутствует. Смысл разбиения области интегрирования по  $u$  состоит в следующем. Для  $\varphi_1$  и  $\varphi_3$  дальнейшие преобразования и упрощения могут быть осуществлены благодаря наличию малого параметра  $r/(z-u) = O(\epsilon)$  (см. (4), (12)). Аналогично, в  $\varphi_2$   $r/(z+u) = O(\epsilon)$ . Для интеграла  $\varphi_2$  величины  $r$  и  $(z-u)$  имеют один порядок, однако можно воспользоваться ограниченностью области интегрирования по  $u$  и произвести разложение  $\rho$  в ряд по  $z$  и  $\tau$  около точки  $(r, z, \tau)$  (см. (4)), сохранив только первые члены этого разложения. Ниже  $\varphi_1$ ,  $\varphi_2$ ,  $\varphi_3$  и  $\varphi_-$  будут рассмотрены по отдельности.

Так как интегрирование по  $r$  в  $\varphi_1$  ведется в пределах  $(0, R)$  (см. (1)), а  $(z-u) > l \gg R$ , то подынтегральное выражение существенно упрощается (отброшены члены порядка  $O(\epsilon)$ )

$$\rho[r, u, \tau + (z-u - \sqrt{r^2 + (z-u)^2})/c] / \sqrt{r^2 + (z-u)^2} \approx \rho(r, u, \tau)/(z-u). \quad (14)$$

Из (14) следует, что

$$\varphi_1(0, z, \tau) \approx \int_0^{z-l} du \frac{Q(r, u, \tau)}{(z-u)}, \quad (15)$$

$$Q(r, u, \tau) = 2\pi \int_0^r r dr \rho(r, u, \tau), \quad (16)$$

где  $Q(r, u, \tau)$  обозначает погонный заряд в пределах радиуса  $r$ .

Аналогичным образом определяется  $\varphi_-$

$$\varphi_-(0, z, \tau) \approx - \int_0^{bc\tau/(1+b)} du \frac{Q(R, u, \tau - 2u/c)}{(z+u)}, \quad (17)$$

а также  $\varphi_3$  для случая  $u_m - z > l$

$$\varphi_3(0, z, \tau) \approx \int_{z+l}^{u_m} du \frac{Q(R, u, \tau - 2(u-z)/c)}{(u-z)}. \quad (18)$$

При выводе (18) учтено, что головная часть импульса, для которой  $r_- < R$ , имеет длину порядка  $R$  и дает вклад  $O(\varepsilon)$ .

Для интеграла  $\varphi_2$  пространственный аргумент  $u$  относительно близок к  $z$  и может варьироваться в пределах  $-l < z - u < l$ , а временной  $\hat{\tau} = \tau + (z - u - \sqrt{r^2 + (z - u)^2})/c$  относительно близок к  $\tau$ :  $-(l + \sqrt{l^2 + R^2})/c < (\hat{\tau} - \tau) < 0$ . Неравенства (4) позволяют записать

$$\rho[r, u, \tau + (z - u - \sqrt{r^2 + (z - u)^2})/c] \approx \rho(r, z, \tau) + \frac{(z - u - \sqrt{r^2 + (z - u)^2})}{c} \times \\ \times \left( \frac{\partial \rho(r, z, \tau)}{\partial \tau} + (u - z) \frac{\partial \rho(r, z, \tau)}{\partial z} \right). \quad (19)$$

Причина, по которой в (19) сохранены члены порядка  $O(\varepsilon)$ , состоит в том, что величина  $\hat{\tau}$  может приближаться к  $(1-b)z/bc$ , а  $\rho(r, z, \tau < (1-b)z/bc) = 0$ . Разложение в ряд благодаря (4) при этом вполне оправдано, однако изменение  $\rho$  при вариации  $\hat{\tau}$  может иметь тот же порядок, что и сама величина  $\rho(r, z, \tau)$ . Вариации  $\hat{\tau}$  при выводе (15)–(18) существенно меньше, так что подобная возможность для этих выражений исключена. Третьим членом справа в (19), содержащим  $\partial \rho / \partial z$ , можно, как правило, пренебречь, так как при достаточно малых изменениях  $z$  (порядка  $l$ ) величина  $\rho$  в нуль не обращается.

Замена переменных  $w = u - z$ , смена порядка интегрирования и подстановка (19) в выражение для  $\varphi_2$  дает

$$\varphi_2(0, z, \tau) \approx 2\pi \int_0^R r dr \int_{-l}^{\min(l, \hat{w})} dw \left\{ \rho(r, z, \tau) - \frac{(w + \sqrt{w^2 + r^2})}{c} \frac{\partial \rho(r, z, \tau)}{\partial \tau} + \right. \\ \left. + w \frac{\partial \rho(r, z, \tau)}{\partial z} \right\} \frac{1}{\sqrt{w^2 + r^2}}, \quad (20)$$

где

$$\hat{w} = \frac{1}{(1+b)} \left( \frac{bc\tau}{(1-b)} - z \right) - b \sqrt{\left( \frac{bc\tau}{(1-b)} - z \right)^2 \frac{1}{(1+b)^2} + \frac{r^2}{(1-b)^2}}.$$

Интегрирование по  $w$  в (20) проводится в явном виде; выражение упрощается с помощью (4), (12)

$$\varphi_2(0, z, \tau) \approx -2\pi \int_0^R r dr \left\{ \rho(r, z, \tau) \ln \left( \frac{r^2}{4l\hat{l}} \right) + \frac{2\hat{l}}{c} \frac{\partial \rho(r, z, \tau)}{\partial \tau} + \right. \\ \left. + (l - l_1) \theta(l - l_1) \frac{\partial \rho(r, z, \tau)}{\partial z} \right\}, \quad (21)$$

$$\hat{l} = \min(l_1, l), \quad l_1 = b(c\tau - (1-b)z/b)/(1+b) = (bc\tau - z)/(1+b). \quad (22)$$

Подстановка (16) и интегрирование по частям (для первого слагаемого в скобках) позволяют преобразовать (21) к виду

$$\varphi_2(0, z, \tau) \approx Q(R, z, \tau) \ln \left( \frac{4l\hat{l}}{R^2} \right) + \int_0^R \frac{2Q(r, z, \tau)}{r} dr - \frac{2\hat{l}}{c} \frac{\partial Q(R, z, \tau)}{\partial \tau} - \\ - (l - l_1) \theta(l - l_1) \frac{\partial Q(R, z, \tau)}{\partial z}. \quad (23)$$

Из (6), (7) следует приближенное уравнение

$$-\frac{\partial \varphi(r, z, \tau)}{\partial r} = \frac{2Q(r, z, \tau)}{r}, \quad (24)$$

с помощью которого берется интеграл в правой части (23); он равен  $(\varphi(0, z, \tau) - \varphi(R, z, \tau))$ .

Подстановка выражений для  $\varphi_1, \varphi_2, \varphi_3$  и  $\varphi_-$  в (13) и (10) дает искомое приближенное краевое условие на  $\varphi(R, z, \tau)$

$$\begin{aligned} \varphi(R, z, \tau) + \frac{R}{2} \ln \left( \frac{4l}{R^2} \right) \frac{\partial \varphi(R, z, \tau)}{\partial r} - \frac{Rl}{c} \frac{\partial^2 \varphi(R, z, \tau)}{\partial r \partial z} - \\ - (l - l_1) \theta(l - l_1) \frac{R}{2} \frac{\partial^2 \varphi(R, z, \tau)}{\partial r \partial z} \approx - \int_0^{bc\tau/(1+b)} du \frac{Q(R, u, \tau - 2u/c)}{(z+u)} + \\ + \int_0^{z-l} \frac{du Q(R, u, \tau)}{(z-u)} + \theta(l_1 - l) \int_l^{l_1} \frac{du Q(R, z+u, \tau - 2u/c)}{u}. \end{aligned} \quad (25)$$

Выражение (25) получено с точностью  $O(\epsilon)$  и представляет собой итоговый результат. Несмотря на несколько громоздкий вид, его вычисление не представляет на практике принципиальных затруднений. В левой части стоит обычное дифференциальное условие первого порядка по  $r$ , а справа — сумма трех несложных однократных интегралов от гладких функций.

Следует отметить, что, хотя в (25) содержится два произвольных параметра  $R$  и  $l$ , выбор которых должен удовлетворять (2)–(4), результат от них не зависит (их изменение вносит поправку  $O(\epsilon)$ ). Для любой величины  $R_1 > R$ , удовлетворяющей (2)–(4), приближенное уравнение (24) можно записать в виде  $(R_1/2) (\partial \varphi(R_1, z, \tau)/\partial r) = -Q(R, z, \tau)$ , так как  $Q(R_1, z, \tau) = Q(R, z, \tau)$ , согласно (4). Следовательно, правая часть и два последних члена в левой части (25) от  $R$  не зависят. Первые же два члена в левой части (25) при дифференцировании по  $R$  взаимно сокращаются. Аналогично непосредственным дифференцированием (25) по  $l$  и разложением  $Q$  в ряд около точки  $(R, z, \tau)$  проверяется слабая зависимость (25) от величины  $l$ .

Из полной эквивалентности уравнений для  $\varphi$  и  $A_z$  следует, что (25) является также и краевым условием для  $A_z$  при подстановке этой величины вместо  $\varphi$ , а вместо  $Q(I/c)$  в последних двух членах правой части и  $(-I/c)$  в первом (зеркальные заряды движутся в сторону, противоположную своим оригиналам). Здесь  $I$  — полный ток в направлении  $z$ .

Нетрудно по аналогии рассмотреть другую модельную ситуацию, когда ускоритель является компактным, его металлические части не оказывают существенного влияния на электромагнитные процессы в окружающей среде, а вытекающий через торец плазменный заряд просто нейтрализуется. В этом случае из (25) надо убрать первый член в правой части.

4. Решение уравнений Максвелла с краевыми условиями (25), (26) требует знания величин  $Q$  и  $I$  в предыдущие по отношению к рассматриваемому моменты времени. При численном исследовании задачи о распространении РЭП с помощью математической модели определение  $Q$  и  $I$  не представляет затруднений. Аналитическое решение, которое позволило бы проиллюстрировать использование предложенных краевых условий, возможно только для простейшего случая распространения «жесткого» пучка в вакууме. При этом  $I$  и  $Q$  определяются исключительно током и погонным зарядом пучка, которые заданы извне.

В качестве примера ниже вычислены приближенные значения потенциалов и полей импульса РЭП длительности  $T$ , имеющего постоянный радиус  $R$ , плотность заряда  $\rho$  и продольную скорость  $\beta_z = b$ . Величина погонного заряда такого пучка равна

$$Q(r, z, \tau) = \pi r^2, \quad z > 0, \quad \tau_1 < \tau < \tau_1 + T, \quad \tau_1 = (1 - b)z/bc, \quad (26)$$

а  $I(r, z, \tau) = bcQ(r, z, \tau)$ . Из (24) следует, что

$$\begin{aligned}\varphi(\cdot, z, \tau) &\approx \varphi(R, z, \tau) + \pi\rho(R^2 - r^2), \\ A_z(r, z, \tau) &\approx A_z(R, z, \tau) + b\pi\rho(R^2 - r^2).\end{aligned}\quad (27)$$

Приближенное вычисление  $\varphi$  по формуле (25) дает результат

$$\varphi(0, z, t) \approx \pi\rho R^2 \left\{ \begin{aligned} 1 + \ln\left(\frac{4f_1 z^2}{R^2 f_2}\right), & t < T + z/c \\ 1 + \ln\left(\frac{4f_1 f_1 f_2}{R^2 f_2 (1 - b^2)}\right), & t > T + z/c \end{aligned} \right\}, \quad (28)$$

$$E_z(0, z, t) \approx 2\pi\rho R^2 \left\{ \begin{aligned} (1 - b^2) \frac{bct}{f_1 f_2} - \frac{1}{z}, & t < T + z/c \\ (1 - b^2) \left(\frac{bct}{f_1 f_2} - \frac{z}{f_1 f_2}\right), & t > T + z/c \end{aligned} \right\}, \quad (29)$$

где

$$f_1 = bct - z, \quad f_2 = bct + z, \quad \hat{f}_1 = z - bc(t - T), \quad \hat{f}_2 = z + bc(t + T), \quad (30)$$

а  $E_z(r, z, t) = (-1/c)(\partial A_z/\partial t) - \partial\varphi/\partial z$  — величина продольного электрического поля.

Область применимости (28), (29) определяется неравенствами

$$c(t - T) + R < z/b < ct - R, \quad z \gg R, \quad 1 - b \ll 1. \quad (31)$$

Здесь и далее для удобства восприятия использованы переменные  $(r, z, t)$ . Точное аналитическое решение задачи можно получить только для  $r=0$  (с помощью (9)). Соответствующие выражения опущены по причине громоздкости. При условиях (31) они переходят в (28), (29) соответственно. Сравнение приближенного и точного решений произведено на рис. 2. Величина  $z$  при этом нормирована на  $R$ ,  $t$  и  $T$  — на  $R/c$ ,  $\varphi$  — на  $\pi R^2 \rho$ ,  $E_z$  — на  $2\pi R\rho$ . Ситуация на рис. 2, а соответствует моменту  $t=15=T/2$ , когда импульс РЭП инжектирован лишь наполовину, а на рис. 2, б — моменту  $t=45=3T/2$ , когда импульс инжектирован целиком, а его задний фронт находится на расстоянии  $z=b(t-T)=12$  от торца ускорителя ( $b=0.8$ ). Для обоих моментов времени наблюдается хорошее согласие между точным и приближенным решениями в пределах области применимости последнего.

В рассматриваемом приближении поле  $E_z$  однородно по  $r$  в пределах сечения пучка, а по величине вблизи фронтов сравнимо с поперечным  $E_r \approx 2\pi r\rho$ . При наличии на радиусе  $R$  металлической стенки ( $\varphi(R, z, t) = A_z(R, z, t) \equiv 0$ ) величина  $E_z$  была бы в параксиальном приближении равна нулю.

Нетрудно проверить наличие у приближенного решения (28), (29) верной асимптотики в пределе  $t \rightarrow \infty$  для бесконечно длинного пучка ( $T \rightarrow \infty$ ), соответствующем электростатической задаче о нахождении поля бесконечного однородно заряженного стержня, упирающегося торцом в идеально проводящую плоскость ( $z \gg R$ ),

$$\varphi(r=0, z) \approx \pi R^2 \rho (1 + \ln(4z^2/R^2)), \quad E_z(r=0, z) \approx -2\pi R^2 \rho / z. \quad (32)$$

5. Для практического пользования предложенным краевым условием (25) необходимо выбрать величины  $R$  и  $l$ , удовлетворяющие соотношениям (1)–(4). Целесообразно взять максимально возможную величину  $R$ , удовлетворяющую соотношениям  $\sqrt{R/L}$ ,  $\sqrt{R/cT} \ll 1$ , так как по мере распространения пучка в газе (с ростом  $z$ ) радиус самого пучка и наработанного им плазменного канала, как правило, увеличивается из-за дефокусировки и рассеяния. Предложенные краевые условия применимы до тех пор, пока радиус плазменного канала меньше  $R$ . Выбор  $l$  при выполнении (4) произволен. Можно, к примеру, взять  $l = \sqrt{R \min(cT, L)}$ .

Сами характерные временной и продольный масштабы зависят от постановки задачи. Для недалекой от равновесия инжекции РЭП в плотный газ роль характерного продольного масштаба  $L$  играет бетатронная длина или длина рассеяния [6], а временного  $T$  — длительность импульса РЭП или его фронтов.

Для малых расстояний от инжектора  $z \ll R$  или от фронтов импульса  $(bct-z) \ll R$ ,  $(z-bc(t-T)) \ll R$  предложенные краевые условия неприменимы. Указанные участки не оказывают, однако, существенного влияния на динамику РЭП в целом, так что для них можно использовать какие-либо интерполяционные формулы, гладко переходящие в (25).

6. Предложен физически обоснованный метод, позволяющий свести решение задачи Коши для уравнений Максвелла, возникающей при исследовании распространения РЭП в неограниченной среде или объеме с непроводящими стенками, к решению краевой задачи. Метод, пригодный для импульсных парак-

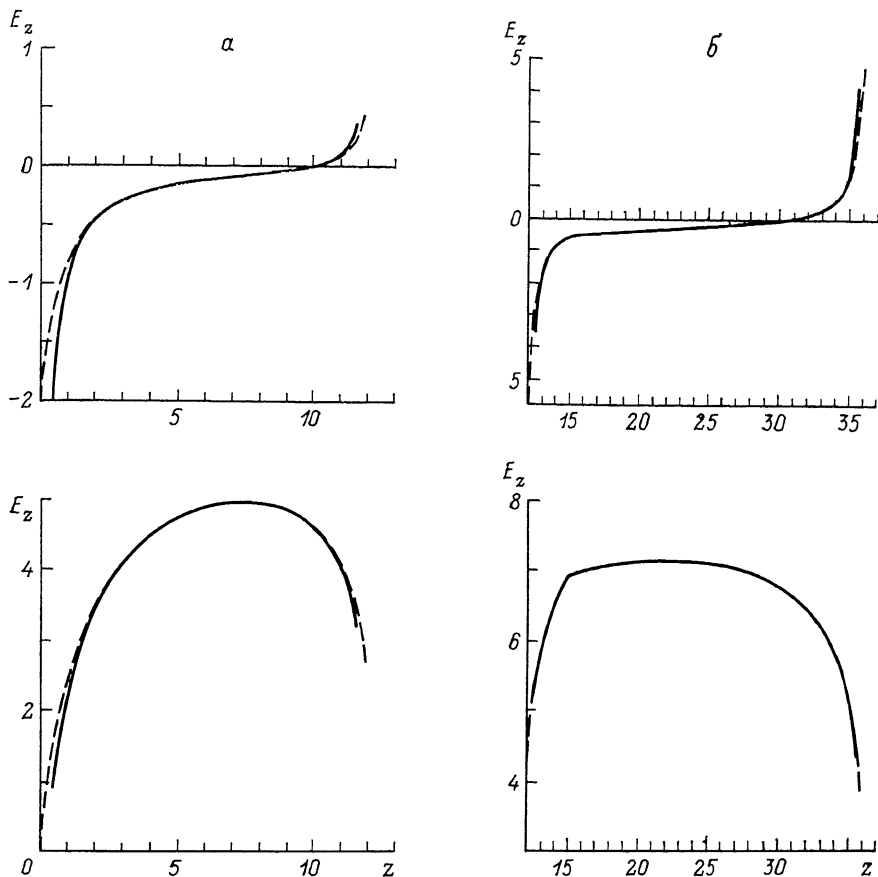


Рис. 2. Зависимости продольного электрического поля  $E_z$  и потенциала  $\phi$  на оси пучка от  $z$  при  $t=15$  (а) и 45 (б).

Сплошные линии — приближенное решение, штриховые — точное.  $T=30$ ,  $b=0.8$ .

сиальных осесимметричных РЭП с плавной зависимостью тока от времени, базируется на приближенном вычислении потенциалов на периферии пучка (плазменного канала) с помощью фундаментального решения волнового уравнения. Потенциалы выражены через значения полного тока и погонного заряда, относящиеся к предыдущим состояниям системы.

Полученные соотношения имеют достаточно простой вид и могут быть использованы для приближенного аналитического определения потенциалов и полей в системе пучок—среда, если известны пространственно-временные зависимости суммарных плотностей тока и заряда.

В более общем случае эти соотношения могут применяться для модификации численных моделей динамики РЭП в среде, заменяя традиционные краевые условия для полей. Преобразованные таким образом модели позволят адекватно описывать многочисленные эксперименты по инжекции РЭП в камеры



дрейфа с непроводящими стенками, металлические камеры большого диаметра, а также в неограниченное пространство.

Автор выражает благодарность Г. А. Сорокину и Л. А. Юдину за полезные обсуждения и ценные замечания.

### Список литературы

- [1] *Joyce G., Lampe M.* // Phys. of Fluids. 1983. Vol. 26. N 11. P. 3377—3386.
- [2] *Григорьев В. П., Корякин А. И., Поташев А. Г.* // Физика плазмы. 1984. Т. 10. № 4. С. 783—791.
- [3] *Ходатаев К. В., Гинзбург С. Л., Дьяченко В. Ф.* // Физика плазмы. 1985. Т. 11. № 9. С. 1062—1070.
- [4] *Fernsler R. F., Hubbard R. F., Hui B. et al.* // Phys. Fluids. 1986. Vol. 29. N 9. P. 3056—3073.
- [5] *Godfrey V. B.* // Phys. Fluids. 1987. Vol. 30. N 2. P. 570—578.
- [6] *Глазычев Л. В., Сорокин Г. А.* // Физика плазмы. 1990. Т. 16. № 3. С. 370—375.
- [7] *Глазычев Л. В., Сорокин Г. А.* // Физика плазмы. 1990. Т. 16. № 5. С. 592—598.
- [8] *Ландау Л. Д., Лифшиц Е. М.* Теория поля. М.: Наука, 1988. 512 с.
- [9] *Уизем Дж.* Линейные и нелинейные волны. М.: Мир, 1977. 622 с.
- [10] *Де Гроот С. Р., Сатторн Л. Г.* Электродинамика. М.: Наука, 1982. 560 с.
- [11] *Бредов М. М., Румянцев В. В., Топтыгин И. Н.* Классическая электродинамика. М.: Наука, 1985. 400 с.
- [12] *Вайнштейн Л. А.* Электромагнитные волны. М.: Радио и связь, 1988. 440 с.
- [13] *Sharp W., Lampe M.* // Phys. Fluids. 1980. Vol. 23. N 12. P. 2383—2395.
- [14] *Lee E. P.* // Phys. Fluids. 1976. Vol. 19. N 1. P. 60—69.
- [15] *Владимиров В. С.* Уравнения математической физики. М.: Наука, 1981. 512 с.

Московский  
радиотехнический институт  
АН СССР

Поступило в Редакцию  
20 апреля 1989 г.  
В окончательной редакции  
9 октября 1990 г.